

原 著 論 文 (4)

# 大気中における ZnO 微粒子表面への CO<sub>2</sub> ガスの吸着と反応

大隈 信行・舟山 義一・伊藤 宏・水谷 惟恭\*・加藤 誠軌\*

福島工業高等専門学校工業化学科 〒970 いわき市平上荒川長尾 30

\*東京工業大学工学部無機材料工学科 〒152 目黒区大岡山 2-12-1

(1988年6月2日 受理)

## Adsorption and Reaction of CO<sub>2</sub> Gas on the Surface of ZnO Fine Particles in the Atmosphere

Nobuyuki OHKUMA, Yoshiichi FUNAYAMA, Hiroshi ITO,

Nobuyasu MIZUTANI\* and Masanori KATO\*

Department of Industrial Chemistry, Fukushima College of Technology  
Kamiarakawa, Taira, Iwaki-shi 970

\*Department of Inorganic Materials, Faculty of Engineering  
Tokyo Institute of Technology  
Ookayama, Meguro-ku, Tokyo 152

(Received June 2, 1988)

In order to clarify adsorption and reaction on the fine ZnO particle surfaces in the atmosphere, the heating desorption analysis of the particles, which had previously adsorbed CO<sub>2</sub> gas or CO<sub>2</sub> gas containing water, was carried out using FID and TCD gas chromatography. The prism-like and the needle-like ZnO fine particles were synthesized by gas phase oxidation of zinc vapor.

The effects of water vapor and of the surface crystal structure of these particles were examined, and the reaction of CO<sub>2</sub> gas with H<sub>2</sub>O adsorbed on the crystal surface was studied.

The results revealed that adsorption of H<sub>2</sub>O on the ZnO surface gave great influence upon the reaction with CO<sub>2</sub> in the atmosphere.

It was concluded that a thin layer of hydrozincite or smithsonite, depending upon the degree of stabilization of crystal surface, was probably formed.

## 1. 緒 言

触媒、センサ、電子材料、光電変換材料などの機能材料として用いられる ZnO 微粒子は、製造、加工、保存そして使用時においてほとんどの場合大気と接触した状態におかれている。これら微粒子の物理化学的性質や電子物性はその表面結晶構造によって支配されるところが大であるが、さらにその結晶表面に大気中に含まれる酸素、水蒸気、炭酸ガスが吸着反応して、その機能作用に強く影響を及ぼしている。しかし、その吸着状態とそれが及ぼす物理化学的性質の影響についてはほとんど明らかにされておらず、用途開発あるいは実用の領域では、

多くの場合、経験的な手法に頼っているのが実情であると言っても過言でない。今後、ZnO にとどまらず他の金属酸化物をも含めてこれら機能材料のより高度なファイン化を進めるには、その表面状態を明らかにし制御する必要にせまられている。

ZnO 表面への CO<sub>2</sub> ガス単独の吸着に関する研究は、清浄な壁面や微粒子についてなされているが<sup>1~3)</sup>、大気中における CO<sub>2</sub> の吸着は水との相互作用によって進行すると考えられるため<sup>4,5)</sup>、新たな実験と考察を必要としている。

現在、工業的に広く用いられているフランス法 ZnO 微粒子は亜鉛蒸気の気相酸化によって合成され、基本的にはプリズム状の単結晶粒子でその表面は c 軸に平行な

(1010)面および垂直な(O001)面とからなる<sup>10)</sup>と考えられるが、極端に非平衡な状態で反応生成するため、その表面は真空壁開でつくりだされたそれに比べはるかに複雑かつ不均一であると推定される。加えて、このような格子欠陥の多い表面に水蒸気や炭酸ガスを多量に含む大気が長期間接触して平衡状態に達していることから、微粒子の表面は再構成表面というよりはむしろ結晶表面の不飽和な原子と大気からの吸着ガスとの反応で形成された薄い化合物の層が存在する表面と表現したほうがより適切であると言えなくもない。したがって、微粒子の表面結晶構造および物理化学的性質に関する知見を得るために、大気とZnO結晶の界面に形成されたこの層の組成と結合状態を明らかにしてゆくことは、極めて有意義であると考えられる。

本研究は、大気中におけるZnO微粒子表面のCO<sub>2</sub>の存在状態を明らかにすることを目的として、亜鉛蒸気の気相酸化によって得られた角粒状および針状粒子へのCO<sub>2</sub>あるいは水蒸気を含むCO<sub>2</sub>ガスの吸着状態を、水素炎イオン検出器(FID)および熱伝導度検出器(TCD)ガスクロマトグラフを用いて昇温脱離分析を行なった結果について検討を加えたものである。

## 2. 実験方法

### 2.1 試 料

角粒状ZnO微粒子は堺化学社製特号亜鉛華(比表面積9.8 m<sup>2</sup>/g)、針状ZnO微粒子(比表面積10.2 m<sup>2</sup>/g)は当研究室で合成したものを使用した<sup>10)</sup>。両試料とも合成後直ちに乾燥した空気雰囲気中にて保存した。大気中の反応(3.3項)については、そのまま大気中に放置した。これらの電子顕微鏡写真をFig. 1に示す。

### 2.2 CO<sub>2</sub>雰囲気

CO<sub>2</sub>単独雰囲気としては、日本酸素社製高純度炭酸ガス(純度99.99%，水分1.5 ppm以下)を使用した。飽和水蒸気を含むCO<sub>2</sub>雰囲気は、所定の温度に保ったデシケータに大気圧のCO<sub>2</sub>を詰め、その底に水を入れた状態のものを使用した。大気雰囲気は温度5~32°C、湿度45~85%，CO<sub>2</sub>量0.030~0.041%である。

### 2.3 吸着ガスの分析

ZnO微粒子表面に吸着したCO<sub>2</sub>とH<sub>2</sub>Oは、それぞれFIDおよびTCDを用いたガスクロマトグラフ装置によって測定した。CO<sub>2</sub>測定装置(Fig. 2)は、試料約0.2 gをガラス製U字管(1)に詰めてキャリヤーガス(N<sub>2</sub>)を流しながら昇温脱離させる。脱離したCO<sub>2</sub>は、Unibead Cカラム(4)によって分離されたのち、H<sub>2</sub>を添加して、300°Cに加熱したNi触媒(粒径60~80メッシュ、内径3 mm、長さ200 mm)(7)でCH<sub>4</sub>に還元し、

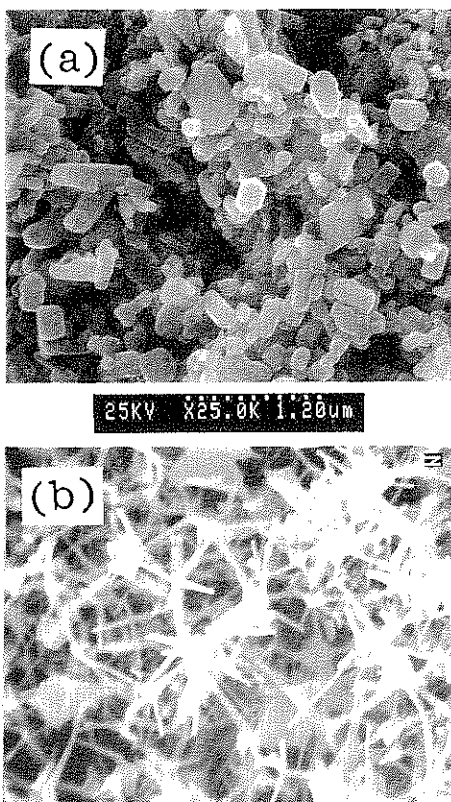


Fig. 1 Electron micrographs of ZnO fine particles.  
(a) Prism-like, (b) Needle-like

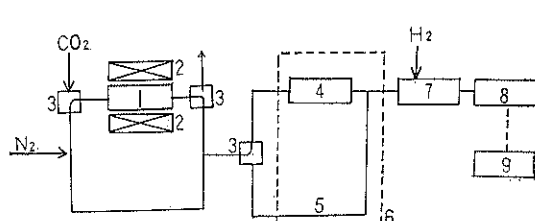


Fig. 2 Schematic diagram of CO<sub>2</sub> analyzer.

1: Sample tube, 2: Heater, 3: Three way cock, 4: Unibeads colum, 5: Bypass, 6: Thermostat, 7: Ni catalyst, 8: FID, 9: Recorder

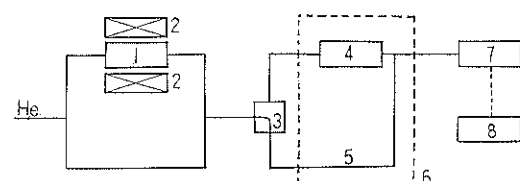


Fig. 3 Schematic diagram of analyzer of H<sub>2</sub>O-CO<sub>2</sub> mixture or H<sub>2</sub>O.

1: Sample tube, 2: Heater, 3: Three way cock, 4: Porapak Q, 5: Bypass, 6: Thermostat, 7: TCD, 8: Recorder

FID(8)で検出した。

$\text{H}_2\text{O}$  および  $\text{H}_2\text{O}$  と  $\text{CO}_2$  の混合ガスの測定は、TCDを用いた Fig. 3 に示す装置によって行なった。脱離した  $\text{H}_2\text{O}$  ガスは、Porapak Q(4)で分離され TCD(7)で検出される。混合ガスの昇温脱離特性はバイパス(5)を通して測定した。

### 3. 結果および考察

#### 3.1 ZnO 微粒子表面への $\text{CO}_2$ ガスの吸着

$\text{CO}_2$  単独の ZnO 微粒子への吸着は、試料をキャリヤーガスを流しながら試料管中で 350°C, 2 時間処理したあと、吸着ガスが完全に除去されているのを昇温脱離分析(350°Cまで)で確認してから、10°Cの温度で高純度  $\text{CO}_2$  ガスを所定の時間流すことにより行なった。 $\text{CO}_2$  を吸着させた ZnO 微粒子の FID による昇温脱離特性

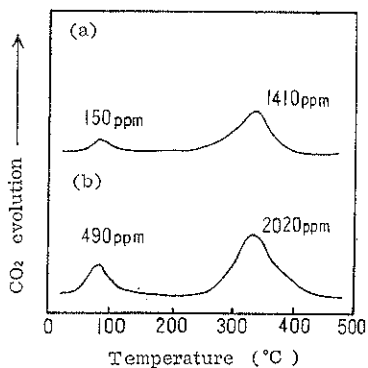


Fig. 4 Releasing curves of  $\text{CO}_2$  adsorbed on the ZnO particles.  
(a) Prism-like, (b) Needle-like

を Fig. 4 に示す。Fig. 4 から明らかのように、角粒状および針状粒子とも、80°Cと330°C付近(脱離開始温度はそれぞれ25~30°Cと230°C)の2つの脱離ピークが観察される。これを特定の結晶面に対する結果<sup>2)</sup>[(0001)面では400°C付近、(1010)面では125°C付近、(4041)や(5051)などのステップ面では125°Cの他に190°C付近にほんのわずか存在]と比較すると、(0001)表面の少ない針状粒子はもちろんのこと、その割合の大きい角粒状粒子においても400°C付近の脱離ピークは存在しない。このピークの脱離開始温度は300°C付近で、明らかに微粒子の高温側のそれとは異なる。

微粒子においてこのピークが存在しない理由は、おそらく微粒子の(0001)面が孤立水酸基でおおわれている<sup>6)</sup>ためと考えられる。微粒子の低温側のピークは、(1010)壁開面のそれの中心温度(125°C)とかなりずれているが、その開始温度はほとんど同じであることから、微粒子の((1010)面に吸着したものであると考えられる<sup>3)</sup>。なお、著者らの実験では、これら微粒子の(1010)面には水素結合水酸基は存在しない結果が得られている<sup>8)</sup>。これに対し、高温側のピークは、壁開したなどの結晶面においても観察されていないもので、微粒子のみに生ずる脱離ピークである。おそらく、微粒子の(1010)表面に多数生じた格子欠陥の不飽和な亜鉛原子に吸着した  $\text{CO}_2$  ガスによるものと推定される。

Fig. 5 は  $\text{CO}_2$  の吸着時間と2つのピークの脱離量との関係をあらわしたものである。低温側の脱離量はほぼ50時間で一定となり、高温側のそれは100時間で飽和に達している。その単位面積あたりの吸着量は、2つのピークとも、針状粒子のほうが角粒状に比べて大きな値

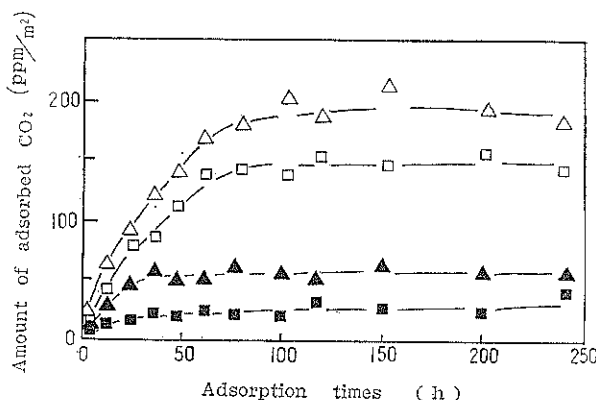


Fig. 5 Relation between amount of adsorbed  $\text{CO}_2$  on the ZnO particles and adsorption times.  
■: Prism-like, peaks near 80°C  
□: Prism-like, peaks near 330°C  
▲: Needle-like, peaks near 80°C  
△: Needle-like, peaks near 330°C

を示しているが、その吸着状態について基本的な違いは存在しないものと考えられる。

### 3.2 ZnO 微粒子と水蒸気を含む CO<sub>2</sub> ガスとの反応

飽和水蒸気を含む大気圧の CO<sub>2</sub> 雰囲気における角粒状 ZnO 微粒子との反応については、既報<sup>5)</sup>において反応温度の違いによって次の 3 種類の塩基性炭酸亜鉛（炭酸水酸化亜鉛）を経由して、脱離開始温度が 230°C 付近の中性炭酸亜鉛 Smithsonite (JCPDS-8-449) になることを明らかにした。この中間生成物は(1) 20°C (Cu, Zn)CO<sub>3</sub>(OH)<sub>2</sub> Rosasite (JCPDS 35-502) と同じ組成および X 線回折图形をもつ Zn のみからなる塩基性炭酸亜鉛で脱離開始温度は 180~190°C。(2) 10°C Zn<sub>5</sub>(CO<sub>3</sub>)<sub>2</sub>·(OH)<sub>6</sub> Hydrozincite (JCPDS 19-1458)，脱離開始温度は 150°C 付近。(3) 5°C JCPDS に未掲載の X 線回折图形をもち CO<sub>2</sub> と H<sub>2</sub>O の組成比が 1:2 である塩基性炭酸亜鉛で脱離開始温度は 100°C 付近の 3 種類である。この反応は、微粒子の表面に多量に吸着された H<sub>2</sub>O 層に CO<sub>2</sub> が溶け込むことにより、亜鉛の酸性塩が生じた結果加水分解反応がおきて塩基性炭酸塩を形成すると推定した。

中性の ZnCO<sub>3</sub> は、必ずこの塩基性炭酸塩が生成した

宏・水谷 惟恭・加藤 誠軌

あとに生じることが確認されている。この分解温度は、直接 ZnO に吸着した 3.1 項の高温脱離ピークのそれと一致しているが、その結合状態はともかくとして、生成過程は明らかに異なる。

3.1 項における昇温脱離曲線には、上記中間生成物に相当する CO<sub>2</sub> のピークは生じていないことが確認されている。

以上の反応を角粒状と針状粒子について、CO<sub>2</sub> の分圧を変えて、各温度における ZnO から塩基性炭酸塩そして Smithsonite への変化の過程 (15 週間) を粉末 X 線回折によって調べ、現出した生成物を表記したのが Fig. 6 である。

水蒸気の分圧については、10% 以下の相対湿度を長期間制御することが困難であること、今回の目的が大気中 (相対湿度数 10% 以上) における反応状態であること、その範囲における蒸気圧の変動はその大勢にほとんど影響を及ぼさないことから、飽和水蒸気圧の場合のみを示してある。Fig. 6 から、CO<sub>2</sub> の分圧が小さくなるにつれて、角粒状粒子では、Hydrozincite が生成しやすく、針状粒子では CO<sub>2</sub>: H<sub>2</sub>O が 1:2 の塩基性炭酸塩 (3) から Smithsonite が現出しやすいことがわかる。

(a) Prism-like

Temp.(°C)		5	10	20
CO <sub>2</sub> (atm)		xXXXXx	xXX	RRRRR R R
1.00		xXXXXx ssssSSSSSS	xXX HHHHHHHH ssSSSSSS	RRRRR R R ssssSSSSSS
0.10		xx HHHHHHHHHHHHHH	x HHHHHHHHHHHHHH ssS	R HHHHHHHHHHHHHH ssSS
0.01		HHHHHHHHHHHHH	HHHHHHHHHHHHH	*HHHHHHHHHHHHH

(b) Needle-like

Temp.(°C)		5	10	20
CO <sub>2</sub> (atm)		xXX*	xXX*	xXX
1.00		xXX* ssssSSSSSSSS	xXX* ssssSSSSSSSS	xXX* ssssSSSSSSSS
0.10		xxxxxx** ssssSSSSSSSS	xxxxxx** ssssSSSSSSSS	xxxxxx** ssssSSSSSSSS
0.01		xxxxxxxxxxxx** ssssSSSSSSSS	xxxxxxxxxxxx** ssssSSSSSSSS	xxxxxxxxxxxx** ssssSSSSSSSS

Fig. 6 Products phase at various pressure of CO<sub>2</sub> and various temperature.

Products were formed by reaction of ZnO particles with CO<sub>2</sub> containing saturated water vapor.

X : The basic zinc carbonate which has the composition ratio of 1:2 between CO<sub>2</sub> and H<sub>2</sub>O.

H : Hydrozincite Zn<sub>5</sub>(CO<sub>3</sub>)<sub>2</sub>(OH)<sub>6</sub>.

R : The basic zinc carbonate ZnCO<sub>3</sub>(OH)<sub>2</sub> which has same the composition ratio of metal, H<sub>2</sub>O and CO<sub>2</sub> and the same X-ray diffraction pattern as Rosasite (Zn, Cu)CO<sub>3</sub>(OH)<sub>2</sub>.

S : Smithsonite ZnCO<sub>3</sub>.

この粒子の形態の違いによって反応生成物の差異が生じる理由については、3.3 項の大気中の反応においてまとめて論ずる。

### 3.3 大気中における ZnO 微粒子の表面生成物

大気中に、3ヶ月間と1年間放置した角粒状および針

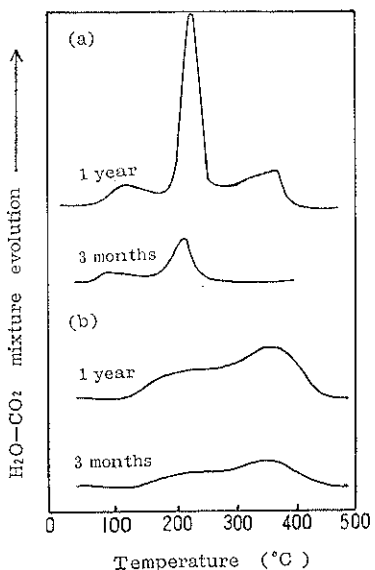


Fig. 7 Releasing curves of  $\text{H}_2\text{O}-\text{CO}_2$  mixture of the surface products on the  $\text{ZnO}$  particles stood for 3 months and a year in contact with atmosphere.

(a) Prism-like, (b) Needle-like

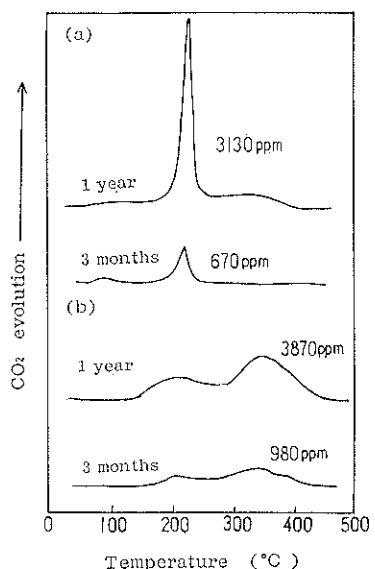


Fig. 8  $\text{CO}_2$ -releasing curves of the surface products on the  $\text{ZnO}$  particles.

(a) Prism-like, (b) Needle-like

状微粒子の TCD による  $\text{H}_2\text{O}$  と  $\text{CO}_2$  の昇温脱離特性を Fig. 7 に、FID による  $\text{CO}_2$  の昇温脱離特性を Fig. 8 に示す。なお TCD による  $\text{H}_2\text{O}$  と  $\text{CO}_2$  ピークは、カラムによって分離されていないそれである。3ヶ月放置の時期は 6月～8月と 9月～12月の 2つの期間で行なったがその脱離特性に大きな違いはみられなかった。この 2つの図で、まず注目すべき点は、角粒状微粒子において、220°C 付近(脱離開始温度は 150°C 前後)に非常に鋭いガスの放出ピークが存在することである。これに対して針状微粒子では、100°C 付近から 400°C 位までにわたる幅広な 2つのピークを有する。この 2つのピークの中心のおよその温度はそれぞれ 250°C と 350°C である。

角粒状と針状のいずれの微粒子においても、Fig. 7 と Fig. 8 のピークの形は、ほぼ同じであることから、 $\text{CO}_2$  と  $\text{H}_2\text{O}$  はほぼ同時に分解・脱離しているものと考えられる。角粒状にみられる非常に鋭いピークは、3.2 項における脱離開始温度およびそのガスの  $\text{CO}_2$  と  $\text{H}_2\text{O}$  のモル比(約 1:1.65)そして Fig. 6 の  $\text{CO}_2$  の分圧が小さくなっ場合に生成する化合物の傾向から、ほぼ Hydrozincite であろうと判断される。さらに長期間放置した試料では、220°C の鋭いピークのあとに幅広くならかな曲線が観察されるようになる。おそらくこれは Hydrozincite から Smithsonite へ変化した炭酸塩によるものと推定される。

針状粒子の幅広な 2つのピークの個々の  $\text{CO}_2$  と  $\text{H}_2\text{O}$  のモル比を求めるることはできなかったが(全体としては約 1:1)，その昇温脱離温度から、100°C 付近で始まる低温側のピークは塩基性炭酸塩(3)で、高温側のピークは中性の炭酸塩 Smithsonite であると判断される。そして、時間の経過とともに、(3)から Smithsonite に少しずつ変化していくものと考えられる。このように、角粒状粒子と針状粒子ではその表面生成物に明確な差異が生じることが明らかとなったが、その理由については、以下のような推論を試みた。

角粒状の  $\text{ZnO}$  は緒言で述べたように、その表面は c 軸に平行な(1010)面とそれに垂直な(0001)面からなるが、テトラボットの形をした針状  $\text{ZnO}$  の結晶表面もこの 2つの面からなることが確かめられている<sup>9)</sup>。これより、角粒状と針状微粒子の形態に基づく結晶表面の違いは前者は後者に比べて(1010)面の割合が小さく、(0001)面の割合が非常に大きいと言うことができる。しかし、大気中にある(0001)面には水蒸気との加水分解によって孤立水酸基が生成しているため<sup>4)</sup>、吸着した  $\text{CO}_2$  が直接その結晶表面の格子亜鉛と反応して炭酸塩が形成される可能性は極めて少ないと考えられる。したがって表面生成物

の差異は、角粒状と針状粒子の(1010)面の表面状態の違いによって生じていると言つていい。この2つの粒子の(1010)表面の違いは、生成する反応条件の差から生ずると考えられる。これについては既に報告してあるので<sup>7</sup>、結論だけを述べる。粒子の形態は反応時の亜鉛蒸気の濃度と温度によって決まる。亜鉛蒸気濃度が大きく、反応温度が高いときは、a軸方向の結晶子径の大きい角粒状粒子が、逆の場合はc軸方向の結晶子径の大きい針状粒子が生成する。角粒状粒子の生成する反応条件は反応室の温度を高くするため、結晶成長を終えたあとで微粒子は熱の影響を受ける。これに対して針状粒子は結晶生成のあと直ちに室温にまで急冷される。(0001)表面の熱の影響については検討済みであるが<sup>8</sup>、ここでは炭酸塩の生成には関係していないと仮定しているので、(1010)表面の影響について考える。角粒状の(1010)表面は、針状のそれに比べて熱の影響を受けて安定化していると考えられる。

この安定化とは、FIDガスクロマトグラフによる化学吸着酸素の昇温脱離分析の結果<sup>11</sup>（昇温開始と同時に脱離する酸素と150°C～200°Cで脱離する酸素があり、この2つの脱離量は針状粒子において著しく、角粒状粒子の5～10倍に達する）から、表面の酸素原子が亜鉛原子よりも外側にはみ出してくることおよびステップ、キング、エッジなどの表面欠陥が減少することであると推定される。そして低温で脱離する酸素の吸着サイトに関係するのが前者で、高温で脱離する酸素の吸着サイトに関係するのが後者でないかと判断される。3.1項における針状粒子と角粒状粒子におけるCO<sub>2</sub>の吸着量の差も同じ原因によるものと考えられる。

このような表面への水の吸着と固体酸・塩基の関係を考えみると、表面の亜鉛原子およびこれに水和した水分子は酸としての働きを有し、表面の酸素原子は塩基としての働きを有する<sup>12</sup>ものと推定される。そうすると、針状粒子の(1010)表面は角粒状粒子のそれに比べて、酸性度は大きく塩基性度は小さいという結論が導かれる。実際に酸・塩基性度を指示薬法で測定した結果では、その精度はかなり低いとはいえ、一応この結論と一致した。

水蒸気を含む炭酸ガス雰囲気中の反応で生成する塩基性炭酸亜鉛の組成が反応条件によって変わる理由としては、既報<sup>6</sup>において次のような理由づけを試みた。すなわち、微粒子表面に吸着したH<sub>2</sub>OにCO<sub>2</sub>が溶けこんで炭酸を生成する。この炭酸イオンが結晶表面の不飽和な格子亜鉛イオンと反応して酸性塩のZn(HCO<sub>3</sub>)<sub>2</sub>を形成したあと、加水分解反応(HCO<sub>3</sub><sup>-</sup>↔H<sup>+</sup>+CO<sub>3</sub><sup>2-</sup> および HCO<sub>3</sub><sup>-</sup>+H<sub>2</sub>O↔H<sub>2</sub>CO<sub>3</sub>+OH<sup>-</sup>)の進行具合により、

宏・水谷 偕恭・加藤 誠軌

塩基性炭酸塩のCO<sub>2</sub>とH<sub>2</sub>Oの比率がきまるとした。この考え方を、CO<sub>2</sub>の分圧が非常に小さい大気雰囲気のZnO表面での生成反応の場合に適用してみると、酸性度が大きく塩基性度の小さい針状結晶表面では前者よりも後者の反応が優勢となり、CO<sub>2</sub>:H<sub>2</sub>Oが1:2の塩基性炭酸塩(3)が生成するのに対し、酸性度が小さく塩基性度の大きい角粒状結晶の表面では針状の場合よりも前者の反応がより進行しやすくなってCO<sub>2</sub>:H<sub>2</sub>Oが1:1.5のHydrozinciteが生成する。そして針状の結晶表面に生成した塩基性炭酸亜鉛(3)は、CO<sub>2</sub>分圧が小さい雰囲気中では不安定なため、すみやかに中性塩のSmithsoniteに変るのに対し、角粒状の結晶表面に生成したHydrozinciteは非常に安定であるため長期間にわたってその状態を保ち続いていると考えられる。ただし、以上のような理由づけだけでは、CO<sub>2</sub>の分圧が大きく結晶表面の水素イオン濃度が高い場合の生成状態まで説明するには無理があり、他の要因を必要とする。これまでの考察では、(0001)表面には孤立水酸基が形成されているため炭酸塩の生成反応は生じないと仮定して議論を進めてきたが、この仮定自体が成り立たない可能性も存在する。しかし、(0001)表面にHydrozinciteが生成すると仮定した場合、何故低温でCO<sub>2</sub>の圧力が大きいと角粒状粒子に塩基性炭酸塩(3)ばかりでHydrozinciteが生成しないのか、あるいは逆にCO<sub>2</sub>の圧力が小さいとHydrozinciteだけしか生成しないのかを矛盾なく説明することが困難である。

この反応における塩基性炭酸塩の生成状態は、ZnO結晶表面へのH<sub>2</sub>OとCO<sub>2</sub>の吸着から炭酸亜鉛および水酸化亜鉛が生成する2つの反応過程の自由エネルギーの差によって決まってくると思われるが、今回の実験結果ではそれを支配する主要な因子がまだ完全に補足されていないと判断される。これを明らかにするには、より精緻な反応条件の制御とそれによって生成した生成物の精密な分析を行なうことが必要と考えられるが、いずれにせよ結晶の表面状態とそれへの水の吸着状態がZnO微粒子表面の塩基性炭酸塩の生成反応に重要な影響を及ぼしていることは間違いないと考えられる。

#### 4. 結 言

大気中におけるZnO微粒子表面のCO<sub>2</sub>の吸着と反応状態を明らかにすることを目的として、CO<sub>2</sub>ガス単独および飽和水蒸気を含むCO<sub>2</sub>ガスを吸着、反応させたZnO微粒子の昇温脱離分析をFIDおよびTCDガスクロマトグラフを用いて行なった。

ZnO粒末は、亜鉛蒸気の気相酸化によって合成した角粒状およびテトラポットの形態をした針状の微粒子を

使用した。

微粒子表面への  $\text{CO}_2$  単独の吸着は、角粒状および針状粒子とも、昇温脱離分析において  $80^\circ\text{C}$  と  $330^\circ\text{C}$  附近で脱離する 2つのピークを生ずるのみで、その吸着状態の基本的な相違は存在しなかった。飽和水蒸気を含む  $\text{CO}_2$  の吸着と反応では、角粒状と針状では明らかに異なった挙動をした。そして  $\text{CO}_2$  の分圧が小さくなるにつれて、角粒状粒子では Hydrozincite  $\text{Zn}(\text{CO}_3)_2(\text{OH})_6$  が生成するのに対し、針状粒子では  $\text{CO}_2 : \text{H}_2\text{O}$  が  $1 : 2$  の塩基性炭酸塩を経由して中性の Smithsonite  $\text{ZnCO}_3$  が生ずることが明らかとなった。さらに大気中に放置した角粒状と針状粒子の表面生成物は、昇温脱離分析による  $\text{CO}_2$  と  $\text{H}_2\text{O}$  の組成比から、それぞれ Hydrozincite と Smithsonite であると結論づけた。

両方の粒子表面に生成した炭酸塩は、いずれも(1010)表面で生成しているものと推定される。

角粒状粒子と針状粒子において異なる組成の炭酸塩が生成する理由としては、これら微粒子の合成時における反応条件の違いによる結晶の表面状態の安定化の相違に基づくものであると推定した。すなわち、前者は微粒子の生成直後に熱の影響を受けてその表面が安定化される度合いが大きいのに対し、後者では生成後直ちに急冷されるため、その表面は活性である。そして、これら表面へ反応した水の吸着状態の違いが、その後に生ずる  $\text{CO}_2$  との反応に差異を生じていると推論した。

## 文 獻

- 1) W. Göpel, R. S. Bauer and G. Hansson : Surface Sci. **99**, 138 (1980).
- 2) F. Runge and Göpel : Zeitschrift für Physikalische Chemie Neue Folge **123**, 173 (1980).
- 3) W. H. Cheng and H. H. Kung : Surface Sci. **122**, 21 (1982).
- 4) M. Nagao, K. Morishige, T. Takeshita and T. Morimoto : Bull. Chem. Soc. Japan **47**, 2107 (1974).
- 5) 大隈信行, 舟山義一, 伊藤 宏, 水谷惟恭, 加藤誠軌 : 日化 **1987**, 802.
- 6) T. Morimoto and M. Nagao : J. Phys. Chem. **78**, 1116 (1974).
- 7) 大隈信行, 内田修司, 加藤誠軌, 河村史生 : 電子写真学会誌 **27**, 17 (1988).
- 8) 大隈信行, 内田修司, 水谷惟恭, 加藤誠軌 : 日化 **1986**, 1736.
- 9) 陶山容子, 友清芳二, 真鍋武志, 田中謙士 : 窯業協会昭和 60 年年会予稿集, p. 491 (1985).
- 10) 仁田 勇監修 : “X 線結晶学 上” (丸善, 1973) p. 655.
- 11) 大隈信行, 舟山義一, 伊藤 宏, 小倉弘幸, 加藤誠軌 : 第 25 回粉末に関する討論会講演要旨集, p. 97 (1987).
- 12) T. Yamanaka and K. Tanabe : J. Phys. Chem. **79**, 2409 (1975).